

Figure 4.1 – Fonctions de transfert des trois canaux test de Proakis.

Figure 4.2 – Structure d'un égaliseur transverse

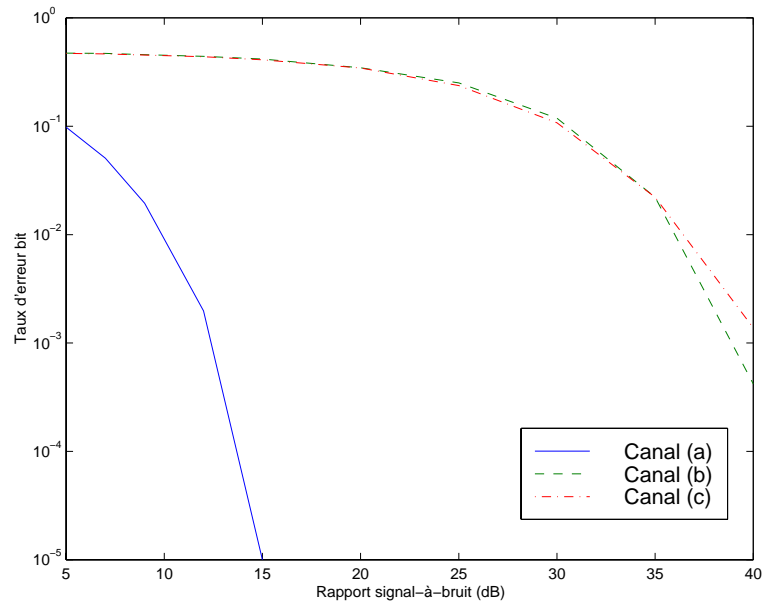


Figure 4.3 – Performances de l'égaliseur à zero forcing pour les trois canaux test.

Figure 4.4 – Structure d'égalisation avec période d'apprentissage

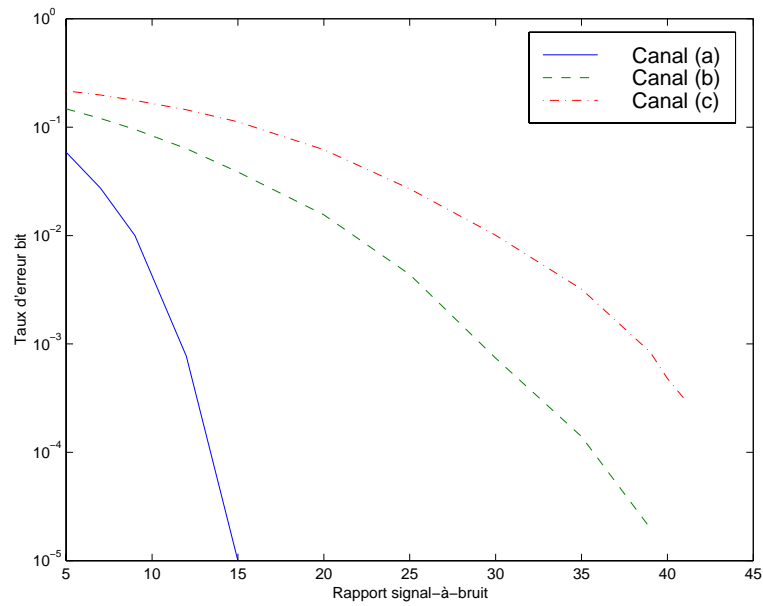


Figure 4.5 – Performances de l'égaliseur minimisant l'erreur quadratique moyenne.

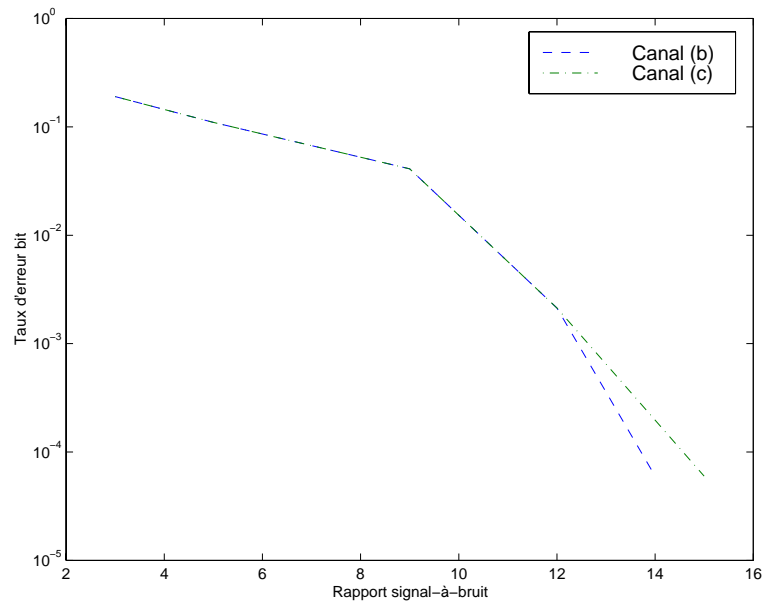


Figure 4.6 – Performances de l'égaliseur à maximum de vraisemblance.

Figure 4.7 – Égaliseur piloté par les décisions

Figure 4.8 – Égaliseur récursif à retour de décision

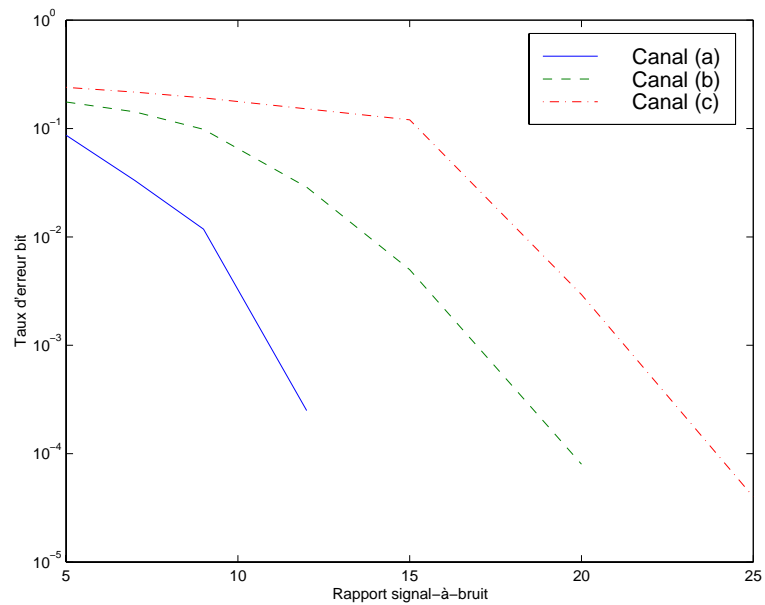


Figure 4.9 – Performances de l'égaliseur à retour de décisions.

Figure 4.10 – Structure du prédicteur transverse

Figure 4.11 – Structure du prédicteur récursif

Figure 4.12 – Structure d'un rétro-innovateur

Figure 4.13 – Structure d'un égaliseur autodidacte en cascade